

東京工業大学大学院 学生会員 山坂昌成
東京工業大学工学部 正会員 福岡捷二

1. まえがき 従来、蛇行水路内の流れを解きこの流れの状況から蛇行の発達・移動を定性的に論ずる研究がなされた。^{1,2)} 本研究では、蛇行側壁面に沿う流砂量を蛇行水路内の流れと関連させ、流砂の連続式を考慮して、蛇行の発達・移動を定量的に把握する。解前にあたって以下の仮定を行う。
 ①平均流下(X 軸)方向の勾配は時間的に変化しない。
 ②蛇行の頂点は平均流下方向に速度 C で移動する。
 ③蛇行振幅の変化に伴って蛇行長さは変化するが、蛇行波長 D は一定である。
 ④横断河床面は水平であり、側壁面は鉛直である。
 ⑤川幅は一定であり、水深に比べ十分大きい。
 ⑥主流の流速は深さ方向に一様である。
 ⑦曲率半径は川幅に比べ十分大きい。

2. 幾何条件 Sine Generated Curve に従う蛇行が、最大偏角 θ を時間とともに変えながら速度 C で下流に移動していく。こゝに記したの側岸堆積(洗掘)速度を求める。流下距離 S を蛇行の頂点からると、Sine Generated Curve の偏角 φ は(1)式に従う。(2), (3)の展開式を用いて、図1の(S, n)座標を(X, Y)座標に変換すると、(4), (5)式となる。ここで、 $J_m(\theta)$ はベッセル関数である。蛇行波長 D と蛇行長 L との関係は(6)式となる。(4), (5)の関係式を用い、 Δt 間の右岸での堆積幅 Δs を求める(左岸では洗掘幅)。図2のO点の(X, Y)座標をA点、B点を基準に表すと、それで(7), (8)式の左辺と右辺になる。(7), (8)式を($S, -n, t$)のまわりで展開し、この連立方程式を $\Delta s/\Delta t$ について解き、 $\Delta t \rightarrow 0$ の極限を考えると(9)式となる。ここで m は川幅の半幅である。(4), (5)式を(9)式に代入すると、若干の計算ののち右岸での堆積速度 ds/dt が(10)式で与えられる。

3. 流砂量 蛇行水路内の流れを解き、側壁での流速と関係づけた流砂量を求める。いま、 X 軸方向に速度 C で移動する座標系での流れを見る。蛇行振幅の時間変化は十分小さいと考え、Engelund,³⁾ 池田⁴⁾の方法を用いて移動座標系での流速を求め、固定座標系での流速に変換すると(11)式となる。ここで \bar{v} は移動座標系での平均流速である。側壁に沿う流砂量が平衡状態のとき流速の P 乗に比例すると仮定して、右岸での流速に対応する平衡状態の単位深さ流砂量を(12)式で表現する。ここで s_{b0} は側壁に沿う流砂量の一周期あたりの平均値であり、 a_r, b_r は(11)式で $n = -n_0$ としたものである。流砂は非平衡状態で流れているので、非平衡の流砂量を考える。平衡状態の流砂量を単位深さあたり s_{bb} 、実際に流れている流砂量を s_s とすると、単位深さ、単位流下距離あたりの洗

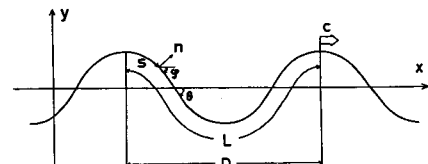


図1 記号の定義

$$\varphi = \theta \sin \frac{2\pi S}{L} \quad \dots \dots \dots (1)$$

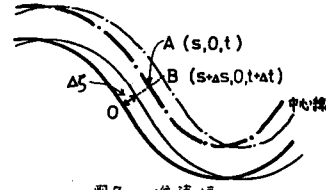
$$\cos(\theta \sin \frac{2\pi S}{L}) = J_0(\theta) + 2 \sum_{v=0}^{\infty} J_{2v+1}(\theta) \cos 2v \frac{2\pi S}{L} \quad \dots \dots \dots (2)$$

$$\sin(\theta \sin \frac{2\pi S}{L}) = 2 \sum_{v=0}^{\infty} J_{2v+1}(\theta) \sin(2v+1) \frac{2\pi S}{L} \quad \dots \dots \dots (3)$$

$$\begin{aligned} X &= \int C dt + \int \cos \varphi ds + n \sin \varphi \\ &= \int C dt + J_0(\theta) S + 2 \sum_{v=0}^{\infty} \frac{1}{2v+1} \sum_{j=0}^{2v} \frac{1}{2v+1-j} J_{2v+1}(\theta) \sin(2v+1) \frac{2\pi S}{L} + n \sin \varphi \end{aligned} \quad \dots \dots \dots (4)$$

$$\begin{aligned} Y &= - \int \sin \varphi ds + n \cos \varphi + y_0(t) \\ &= 2 \sum_{v=0}^{\infty} \frac{1}{2v+1} \sum_{j=0}^{2v} \frac{1}{2v+1-j} J_{2v+1}(\theta) \cos(2v+1) \frac{2\pi S}{L} + n \cos \varphi \end{aligned} \quad \dots \dots \dots (5)$$

$$D = J_0(\theta) \cdot L(t) \quad \dots \dots \dots (6)$$



$$\chi(S, -n_0, t) = \chi(S + \Delta s, -n_0 - \Delta s, t + \Delta t) \quad \dots \dots \dots (7)$$

$$Y(S, -n_0, t) = Y(S + \Delta s, -n_0 - \Delta s, t + \Delta t) \quad \dots \dots \dots (8)$$

$$\frac{\Delta s}{\Delta t} = \frac{\partial \bar{s}}{\partial t} = \left| \begin{array}{l} \frac{\partial \chi}{\partial t} \\ \frac{\partial Y}{\partial t} \end{array} \right|_{(S, -n_0, t)} \quad \dots \dots \dots (9)$$

$$\frac{\partial \bar{s}}{\partial t} = \left| \begin{array}{l} \frac{\partial \chi}{\partial n} \\ \frac{\partial Y}{\partial n} \end{array} \right|_{(S, -n_0, t)} \quad \dots \dots \dots (9)$$

$$\begin{aligned} \frac{\partial \bar{s}}{\partial t} &= 2CJ_0 \sin \frac{2\pi S}{L} + \frac{1}{2\pi} \frac{d\theta}{dt} \frac{2\pi}{J_0} \theta^{-1} \cos \frac{2\pi S}{L} \\ &+ 2CJ_1 \sin \frac{2\pi S}{L} + \frac{1}{2\pi} \frac{d\theta}{dt} \frac{2\pi}{J_1} \theta^{-1} \cos \frac{2\pi S}{L} \\ &+ \dots \dots \dots (10) \end{aligned}$$

流量は単位時間あたり、 $X(g_{sb} - g_s)$ と考えられる。これが単位長さ流下した地点の流砂量増加に等しいので(13)式が成り立つ。(12)式を(13)式に代入し g_s について解いた(14)式が非平衡状態の流砂量である。 X は流速に対する流砂の遅れ距離を表すパラメーターであり、 X が小さいほど遅れ距離は大きくなる。

4. 蛇行発生領域・卓越蛇行波数

幾何条件から求めた堆積(先端)速度と、非平衡の流砂量とが流砂の連続式を満たすように偏角変化率 $d\theta/dt$ 、移動速度 C を求める。流砂の連続式は(15)式であり、これに(10)、(14)式を代入すると、 $J_0/J_1 \ll 1$ の範囲では、 $d\theta/dt$ 、 C は(16)、(17)式となる。これらの式では、蛇行発生時だけでなくその後の蛇行形態の時間変化を定量的に把握することができる。いま $\theta=0$ のときを考え、 $d\theta/dt$ の正負により蛇行発生領域を、 C の正負により移動方向を、 $d\theta/dt$ が極大値をとる条件

より卓越蛇行波数を求める。(16)式で $L=D$ のときの $d\theta/dt > 0$ なる条件を求めると(18)式となる。ここで、 $\lambda'_0 = 2\pi h_0/D$ 、 $X' = \rho_0 X$ 、 $F_r^2 = U_0^2/(gh_0)$ である。蛇行発生時の蛇行移動方向が下流である条件は(17)式が正である条件から、(19)式となる。卓越蛇行波数は(16)式の極値条件から(20)式を満たさなければならぬ。これらの計算例を図3に示す。従来、蛇行は下流にのみ移動すると言っていたが¹⁴⁾、流砂の非平衡性の効果(流砂と流速との遅れ)により、上流に移動する蛇行も発生し得る可能性がある。しかし、卓越蛇行波数が下流に移動する領域内にあるため、上流に移動する蛇行は発生しないといふことがわかる。

5. 蛇行形状の時間変化 蛇行が発生はじめのところから、その形状が時間とともにどのような変化をするかを(16)、(17)式により求める。蛇行長さは振幅の増大に伴ってその長さを増す。したがって流下方向の平均河床勾配は緩かになり、平均水深、平均流速、平均流砂量も変化する。これらの物理量を、一付した直線水路時の物理量で表すと、(21)式となり、 J_0/J_1 だけの関数である。したがって、最大偏角 θ を与えるれば $d\theta/dt$ 、 C が求まり蛇行形状の時間変化を追うことができる。図4は、石狩川河口付近の水理諸量を使つて蛇行形状の変化を示したものである。 θ が大きくなると、次第に C 、 $d\theta/dt$ が小さくなり、蛇行形状の変化がゆっくりしくなるが、最終的には迂曲にまで発達する。

1) 池田・日野・吉川「河川の自由蛇行に関する理論的研究」土木会論文報告集 第255号(1976)

2) 山岡・長谷川「河川の機能に関する基礎的研究」北大森林研究報告(1979)

3) Engelund, F. "Flow and Bed Topography in Channel Bends" Jour. of Hydraulics Division, Hydraulics Division, Vol. 101, No. 1, 1974

4) 池田・Parker, G. 「河川の蛇行に関する統一見解」第24回水理講演会論文集(1980)

$$U = U_0 \left\{ 1 + (a \sin \frac{2\pi}{L} S + b \cos \frac{2\pi}{L} S) + \frac{c}{U_0} \cos(\theta \sin \frac{2\pi}{L} S) \right\}$$

$$a = \eta \frac{\frac{U_0^2}{2gh_0} + 1}{H + \frac{1}{H}} \frac{2\pi \theta}{L}$$

$$b = \eta \frac{\frac{U_0^2}{2gh_0} - H^2}{H^2 + 1} \frac{2\pi \theta}{L}$$

$$H = \frac{2\pi h_0}{f L}$$

$$g_{sb} = g_{sbo} \left\{ 1 + P \left(U_0 \sin \frac{2\pi}{L} S + b r \cos \frac{2\pi}{L} S \right) \right\} \quad (12)$$

$$\frac{\partial g_s}{\partial S} = X (g_{sb} - g_s) \quad (13)$$

$$g_s = g_{sbo} \left[1 + P \left(\frac{K}{(\frac{2\pi}{L})^2 + X^2} \left((X \alpha r + \frac{2\pi}{L} b r) \sin \frac{2\pi}{L} S \right. \right. \right. \\ \left. \left. \left. + (K b r - \frac{2\pi}{L} \alpha r) \cos \frac{2\pi}{L} S \right) \right] \quad (14)$$

$$\frac{\partial S}{\partial t} + \frac{1-\lambda}{1-\lambda} \frac{\partial S}{\partial S} = 0 \quad (15)$$

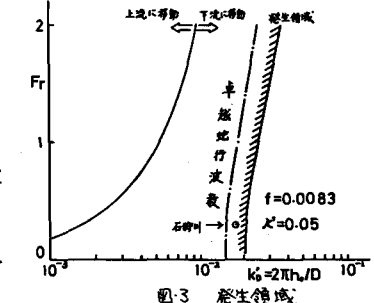
$$\frac{d\theta}{dt} = \frac{P g_{sbo} n J_0 \theta^2}{2 J_1 (1-\lambda)} \left(\frac{2\pi}{L} \right)^2 + X^2 \left\{ X \frac{\frac{U_0^2}{2gh_0} + 1}{\frac{2\pi h_0}{f L} + \frac{f L}{2\pi h_0}} + \frac{2\pi}{L} \frac{\frac{U_0^2}{2gh_0} - \left(\frac{2\pi h_0}{f L} \right)^2}{\left(\frac{2\pi h_0}{f L} \right)^2 + 1} \right\} \quad (16)$$

$$C = \frac{P g_{sbo} n J_0 \theta}{2 J_1 (1-\lambda)} \left(\frac{2\pi}{L} \right)^2 + X^2 \left\{ \frac{2\pi}{L} \frac{\frac{U_0^2}{2gh_0} + 1}{\frac{2\pi h_0}{f L} + \frac{f L}{2\pi h_0}} - K \frac{\frac{U_0^2}{2gh_0} - \left(\frac{2\pi h_0}{f L} \right)^2}{\left(\frac{2\pi h_0}{f L} \right)^2 + 1} \right\} \quad (17)$$

$$f_r'^2 < f K' \left(\frac{1}{2} F_r^2 + 1 \right) + \frac{1}{2} f^2 F_r^2 \quad (18)$$

$$f_r'^2 > \frac{\frac{1}{2} f^2 X^2 F_r^2}{f \left(\frac{1}{2} F_r^2 + 1 \right) + K'} \quad (19)$$

$$f_r'^6 + 2(X^2 + f^2) f_r'^4 - f \left(\frac{1}{2} F_r^2 + 1 \right) K'^3 + \frac{1}{2} f^2 F_r^2 K'^2 - 3 f^2 K'^2 + f^3 \left(\frac{1}{2} F_r^2 + 1 \right) K'^4 \\ + \frac{1}{2} f^4 F_r^2 f_r'^2 - 2 \left[f^4 \left(\frac{1}{2} F_r^2 + 1 \right) K'^3 + \frac{1}{2} f^4 F_r^2 K'^2 \right] = 0 \quad (20)$$



$$U_0 = \left(\frac{D}{L} \right)^{1/3} \bar{U}_0, \quad h_0 = \left(\frac{D}{L} \right)^{-1/3} \bar{h}_0, \quad g_{sbo} = \left(\frac{D}{L} \right)^{1/3} \bar{g}_{sbo} \quad (21)$$

$$T = q_r n k L / D$$

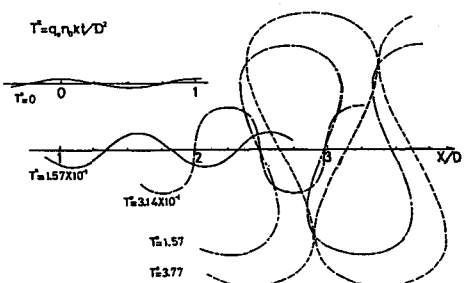


図4. 蛇行形状の時間変化